

— Vibration Libres d'une Poutre en Flexion —

par

GAYE, Ibrahima

ZHANG, Xunjie

Compte-rendu du Ex.31 de l'UE Outil de Mathématique

fait le 29 octobre 2016

# Table des matières

<b>1</b>	<b>Introduction et Séparation des variables</b>	<b>4</b>
1.1	Introduction . . . . .	4
1.2	Séparation des variables . . . . .	4
1.2.1	Équation d'Équilibre . . . . .	4
1.2.2	Séparations . . . . .	4
1.3	Solution des fonctions . . . . .	5
1.3.1	équation différentielles ordinaires . . . . .	5
1.3.2	recherche la solution . . . . .	5
1.4	Solution finalement . . . . .	6
<b>2</b>	<b>Résolution dans le cas de la poutre encastrée-appuie</b>	<b>7</b>
2.1	conditons limites . . . . .	7
2.1.1	extrémité en appui simple à l'abscisse $x=L$ . . . . .	7
2.1.2	Encastrement à l'abscisse $x=0$ . . . . .	7
2.1.3	Résultat par les conditions limites . . . . .	8
2.2	Solution analyse . . . . .	8
2.3	Infinité de solutions . . . . .	8
2.4	Solution générale . . . . .	10
<b>3</b>	<b>Analyse et Résultat</b>	<b>11</b>
3.1	Premier condition . . . . .	11
3.1.1	serie de $F_r$ . . . . .	11
3.1.2	Transformé de Fourier . . . . .	11
3.2	Deuxième condition . . . . .	13
3.2.1	Dérivée partiel d'équation . . . . .	13
3.2.2	Nulle de derivation . . . . .	13
3.3	Solution complète . . . . .	13
<b>4</b>	<b>Prénsatations Graphiques</b>	<b>14</b>
4.1	Graphiques temps fixé . . . . .	14
4.1.1	Mode 1 ( $\gamma = \gamma_1$ ) . . . . .	14
4.1.2	Mode 2 ( $\gamma = \gamma_2$ ) . . . . .	15
4.1.3	$V(x,0)$ total pour $\gamma_1$ et $\gamma_2$ . . . . .	16
4.1.4	Mode 5 ( $\gamma = \gamma_5$ ) . . . . .	16
4.1.5	$V(x,0)$ total pour $\gamma_1, \gamma_2, \gamma_3, \gamma_4, \gamma_5$ . . . . .	17
4.2	Graphiques position fixé . . . . .	18
4.2.1	Model du temps . . . . .	18
4.2.2	Mode2 du temps . . . . .	19

4.2.3	Viriation2 total du temps . . . . .	20
4.2.4	Viriation5 total du temps . . . . .	21
<b>5</b>	<b>Conclusion</b>	<b>22</b>
<b>A</b>	<b>Code Python</b>	<b>23</b>
A.1	Listes des fonctions . . . . .	23
A.2	Les graphiques . . . . .	25
A.2.1	$\tan(\gamma)=\tan(\gamma)$ . . . . .	25
A.2.2	Mode 1 . . . . .	25
A.2.3	Mode 2 . . . . .	26
A.2.4	Mode 5 . . . . .	26
A.2.5	5 modes total . . . . .	26
A.2.6	flexion à $x=0.5$ mode 1 . . . . .	27
A.2.7	flexion à $x=0.5$ mode 2 . . . . .	27
A.2.8	flexion à $x=0.5$ total 5 modes . . . . .	28

# Table des figures

2.1	infinité points . . . . .	9
4.1	t=0 mode 1 . . . . .	15
4.2	t=0 mode 2 . . . . .	15
4.3	2 modes et vibrations . . . . .	16
4.4	t=0 mode 5 . . . . .	17
4.5	5 modes et vibrations . . . . .	17
4.6	mode1 du temps . . . . .	18
4.7	mode2 du temps . . . . .	19
4.8	vibration2 du temps . . . . .	20
4.9	vibration5 du temps . . . . .	21

# Chapitre 1

## Introduction et Séparation des variables

### 1.1 Introduction

On ne traitera que ici que le problème d'une poutre droite , de section uniforme , en flexion simple dans un plan principal . Ce pendant , le plus souvent , la poutre n'est pas contrainte à rester dans ce plan , et il existe une possibilité de déplacement dans la direction perpendiculaire . Si les excitations ne sont pas contenues dans un plan principal , il faut étudier les vibrations de flexion , dans les 2 plans principaux définis chacun par l'axe de la poutre et l'une des directions principales de la section .

### 1.2 Séparation des variables

#### 1.2.1 Équation d'Équilibre

Pour une poutre droite de section constante en flexion , et considérons un effort extérieur  $t_{ext}$  nul , on a l'équation :

$$\frac{\partial^2 v}{\partial t^2} = -\frac{El}{\rho S} \frac{\partial^4 v}{\partial x^4} \quad (1.1)$$

Posons :  $v(x, t) = \phi(x)q(t)$  et reportons cette expression dans l'équation du mouvement :

$$\phi \frac{d^2 q}{dt^2} = -\frac{El}{\rho S} \frac{d^4 \phi}{dx^4} q \quad (1.2)$$

#### 1.2.2 Séparations

Séparons les termes qui dépendent de  $t$  et de  $x$  :

$$\frac{1}{q} \frac{d^2 q}{dt^2} = -\frac{El}{\rho S} \frac{d^4 \phi}{dx^4} \frac{1}{\phi} \quad (1.3)$$

## 1.3 Solution des fonctions

Les 2 membres de cette équation sont indépendants l'un de  $x$ , l'autre de  $t$ ; ils sont donc constants. Pour que la solution  $q(t)$  reste bornée quand le temps tend vers l'infini, cette valeur constante doit être négative.

Trouver  $q(t)$  et  $\phi(x)$  quand  $-\omega^2$  est constant :

$$\frac{1}{q} \frac{d^2 q}{dt^2} = -\frac{El}{\rho S} \frac{d^4 \phi}{dx^4} \frac{1}{\phi} = -\omega^2 \quad (1.4)$$

### 1.3.1 équation différentielles ordinaires

On en tire 2 équations différentielles ordinaires, l'une en  $x$ , l'autre en  $t$ , que l'on résout séparément :

$$\begin{cases} \frac{d^4 \phi}{dx^4} - \omega^4 \frac{\rho S}{EI} \phi = 0 \\ \frac{d^2 q}{dt^2} + \omega^2 q = 0 \end{cases} \quad (1.5)$$

### 1.3.2 recherche la solution

On recherche la solution de l'équation sous la forme harmitienne suivante :  $\phi(x) = ae^{sx}$ , d'où l'équation caractéristique, de degré 4 en  $S$  :

$$s^4 - \omega^4 \frac{\rho S}{EI} = 0 \quad (1.6)$$

qui a solutions :

$$s = \pm \sqrt[4]{\frac{\rho S}{EI} \omega^2}, \quad s = \pm i \sqrt[4]{\frac{\rho S}{EI} \omega^2} \quad (1.7)$$

que l'on peut aussi écrire en fonction d'un paramètre  $\gamma$  sans dimension :

$$s = \pm \frac{\gamma}{L}, \quad s = \pm i \frac{\gamma}{L}, \quad \gamma = L \sqrt[4]{\frac{\rho S}{EI} \omega^2} \quad (1.8)$$

On en déduit l'expression de la forme modale :

$$\phi(x) = ae^{\gamma \frac{x}{L}} + be^{-\gamma \frac{x}{L}} + ce^{i\gamma \frac{x}{L}} + de^{-i\gamma \frac{x}{L}} \quad (1.9)$$

ou encore :

$$\phi(x) = A \sinh\left(\gamma \frac{x}{L}\right) + B \cosh\left(\gamma \frac{x}{L}\right) + C \sin\left(\gamma \frac{x}{L}\right) + D \cos\left(\gamma \frac{x}{L}\right) \quad (1.10)$$

On recherche l'autre solution de l'équation sous la forme harmitienne suivante :  $q(t) = ae^{bt}$ , d'où l'équation caractéristique, de degré 2 en  $t$  :

$$b^2 + \omega^2 = 0 \quad (1.11)$$

qui a 2 solutions :

$$b = \pm i\omega, \quad \omega = \frac{\gamma^2}{L^2} \sqrt{\frac{EI}{\rho S}} \quad (1.12)$$

Donc on en déduit l'expression de la forme modale :

$$q(t) = \hat{e}e^{i\omega t} + \hat{f}e^{-i\omega t} \quad (1.13)$$

Ou encore :

$$q(t) = E \sin \omega t + F \cos \omega t, \quad \omega = \frac{\gamma^2}{L^2} \sqrt{\frac{EI}{\rho S}} \quad (1.14)$$

## 1.4 Solution finalement

On obtient donc finalement :

$$v(x, t) = \phi(x)q(t) \quad (1.15)$$

avec :

$$\begin{cases} \phi(x) &= A \sinh(\gamma \frac{x}{L}) + B \cosh(\gamma \frac{x}{L}) + C \sin(\gamma \frac{x}{L}) + D \cos(\gamma \frac{x}{L}) \\ q(t) &= E \sin \omega t + F \cos \omega t \\ \omega &= \frac{\gamma^2}{L^2} \sqrt{\frac{EI}{\rho S}} \end{cases} \quad (1.16)$$

- $\phi(x)$  définit la forme de la poutre pendant sa vibration . Elle contient les 5 constantes  $A, B, C$  et  $\gamma$  (ou  $\omega$ ) , qui sont fixées par les conditions aux limites .
- $q(t)$  définit le mouvement de la poutre . Elle contient , outre la constante  $\omega$  déjà évoquée , les 2 constantes  $E$  et  $F$  , qui sont fixées par les conditions initiales .

## Chapitre 2

# Résolution dans le cas de la poutre encastree-appuie

### 2.1 conditions limites

Il existe 2 conditions aux limites usuelles pour une poutre en flexion :

#### 2.1.1 extrémité en appui simple à l'abscisse $x=L$

La flèche est nulle en tout instant , ainsi que le moment fléchissant :

$$\forall t \begin{cases} v(L, t) &= 0 \\ \frac{\partial^2 v}{\partial x^2}(L, t) &= 0 \end{cases} \quad (2.1)$$

On a :

$$\begin{cases} \phi(L) &= A \sinh \gamma + B \cosh \gamma + C \sin \gamma + D \cos \gamma = 0 \\ \frac{d^2 \phi}{dx^2}(L) &= \frac{\gamma^2}{L^2} A \sinh \gamma + B \frac{\gamma^2}{L^2} \cosh \gamma - C \frac{\gamma^2}{L^2} \sin \gamma - D \frac{\gamma^2}{L^2} \cos \gamma = 0 \end{cases} \quad (2.2)$$

Et on en déduit :

$$\begin{cases} A \sinh \gamma + B \cosh \gamma &= 0 \\ C \sin \gamma + D \cos \gamma &= 0 \end{cases} \quad (2.3)$$

#### 2.1.2 Encastrement à l'abscisse $x=0$

La flèche est nulle en tout instant , ainsi que la pente de la poutre :

$$\forall t \begin{cases} v(0, t) &= 0 \\ \frac{\partial v}{\partial x}(0, t) &= 0 \end{cases} \quad (2.4)$$

d'où , on a :

$$\begin{cases} \phi(0) &= B + D = 0 \\ \frac{d\phi}{dx}(0) &= A \frac{\gamma}{L} + C \frac{\gamma}{L} = 0 \end{cases} \quad (2.5)$$

On en déduit :



$$\begin{cases} A + C = 0 \\ B + D = 0 \end{cases} \quad (2.6)$$

### 2.1.3 Résultat par les conditions limites

On cherche solution pour les 4 équations :

$$\begin{cases} A \sinh \gamma + B \cosh \gamma = 0 \\ C \sin \gamma + D \cos \gamma = 0 \\ A + C = 0 \\ B + D = 0 \end{cases} \quad (2.7)$$

On trouve simplement :

$$\begin{cases} \tanh \gamma - \tan \gamma = 0 \\ B = -A \tanh \gamma = -A \tan \gamma \end{cases} \quad (2.8)$$

## 2.2 Solution analyse

On trouve la solution complète  $v(x, t) = \phi(x)q(t)$  :

$$v(x, t) = \left( A \sinh \left( \gamma \frac{x}{L} \right) + B \cosh \left( \gamma \frac{x}{L} \right) + C \sin \left( \gamma \frac{x}{L} \right) + D \cos \left( \gamma \frac{x}{L} \right) \right) \left( E \sin(\omega t) + F \cos(\omega t) \right) \quad (2.9)$$

$$= \left( A \sinh \left( \gamma \frac{x}{L} \right) - A \tanh \gamma \cosh \left( \gamma \frac{x}{L} \right) - A \sin \left( \gamma \frac{x}{L} \right) + A \tanh \gamma \cos \left( \gamma \frac{x}{L} \right) \right) \left( E \sin(\omega t) + F \cos(\omega t) \right) \quad (2.10)$$

$$= AE \sin(\omega t) \left( \sinh \left( \gamma \frac{x}{L} \right) - \tanh \gamma \cosh \left( \gamma \frac{x}{L} \right) - \sin \left( \gamma \frac{x}{L} \right) + \tanh \gamma \cos \left( \gamma \frac{x}{L} \right) \right) \quad (2.11)$$

$$+ AF \cos(\omega t) \left( \sinh \left( \gamma \frac{x}{L} \right) - \tanh \gamma \cosh \left( \gamma \frac{x}{L} \right) - \sin \left( \gamma \frac{x}{L} \right) + \tanh \gamma \cos \left( \gamma \frac{x}{L} \right) \right) \quad (2.12)$$

$$\omega = \frac{\gamma^2}{L^2} \sqrt{\frac{EI}{\rho S}} \quad (2.13)$$

## 2.3 Infinité de solutions

On écrit une programme pour trouver les r valeurs , ce que on noté  $\gamma_r$  , et un tracé graphique simple permet d'approcher les solutions . En effect , l'équation peut s'écrire :

$$\tanh \gamma = \tan \gamma \quad (2.14)$$

Les solutions sont données par les intersections des courbes  $\tanh \gamma$  et  $\tan \gamma$  :

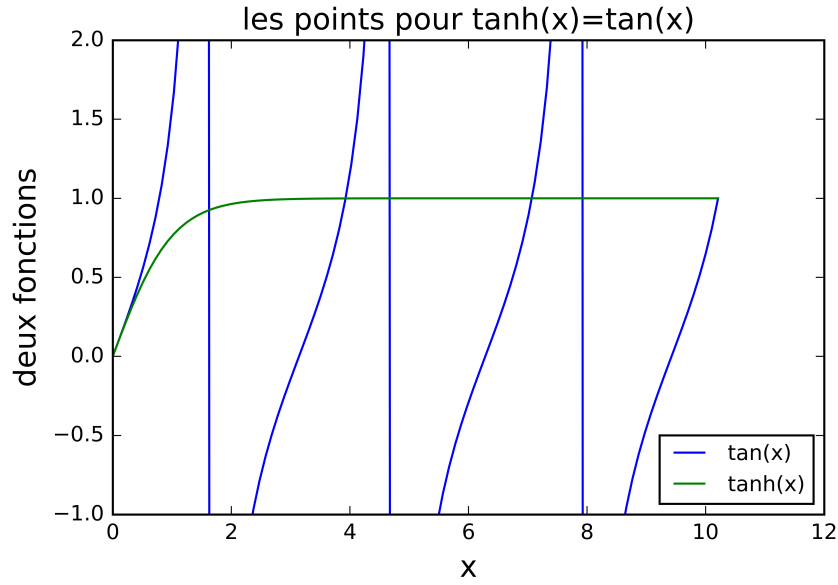


FIGURE 2.1 – infinité points

On constate qu'il existe une infinité de solutions, voisines de  $\frac{9\pi}{4}, \frac{13\pi}{4}, \frac{5\pi}{4}$ , etc.

Les valeurs précises peuvent être recherchées numériquement au voisinage de ces valeurs, au moyen d'un programme Matlab très bref :

for  $\gamma=1:4$ , fzero(@(gamma) tan(gamma)-tanh(gamma), (4\*r\*pi-1)/5

On obtient :

$$\gamma_1 = 3.927 \quad (2.15)$$

$$\gamma_2 = 7.069 \quad (2.16)$$

$$\gamma_3 = 10.210 \quad (2.17)$$

$$\gamma_4 = 13.351 \quad (2.18)$$

$$\gamma_5 = 16.493 \quad (2.19)$$

$$\gamma_6 = 19.634 \quad (2.20)$$

$$\gamma_7 = 22.776 \quad (2.21)$$

$$\gamma_8 = 25.918 \quad (2.22)$$

$$\gamma_9 = 29.059 \quad (2.23)$$

$$\gamma_{10} = 32.201 \quad (2.24)$$

$$\dots \quad (2.25)$$

$$\gamma_r = (4 * n * \pi - 1)/5 \quad (2.26)$$

A chaque solution  $\gamma_r$  correspond une valeur  $\omega_r$  de la pulsation :

$$\omega_r = \frac{\gamma_r^2}{L^2} \sqrt{\frac{EI}{\rho S}} \quad (2.27)$$

## 2.4 Solution générale

Finalement , la solution générale est :

$$v(x, t) = \sum_{r=1}^{\infty} \phi_r(x) (E_r \sin \omega t + F_r \cos \omega t) \quad (2.28)$$

avec :

$$\left\{ \begin{array}{rcl} \phi_r(x) & = & A \left( \sinh \left( \gamma_r \frac{x}{L} \right) - \tanh \gamma_r \cosh \left( \gamma_r \frac{x}{L} \right) - \sin \left( \gamma_r \frac{x}{L} \right) + \tanh \gamma_r \cos \left( \gamma_r \frac{x}{L} \right) \right) \\ \omega_r & = & \frac{\gamma_r^2}{L^2} \sqrt{\frac{EI}{\rho S}} \\ \tanh \gamma_r & = & \tan \gamma_r \\ r & = & 1, 2, 3, 4, \dots \end{array} \right. \quad (2.29)$$

## Chapitre 3

# Analyse et Résultat

Dans ce chapitre on étudie la solution complète avec les conditions initiales .

### 3.1 Premier condition

condition initiale  $v(x, 0) = v_0$

#### 3.1.1 serie de $F_r$

$$v(x, t) = \sum_{r=1}^{\infty} \phi_r(x) (E_r \sin \omega t + F_r \cos \omega t) \quad (3.1)$$

$$v(x, 0) = AF_r \left( \sinh \left( \gamma_r \frac{x}{L} \right) - \tanh \gamma_r \cosh \left( \gamma_r \frac{x}{L} \right) - \sin \left( \gamma_r \frac{x}{L} \right) + \tanh \gamma_r \cos \left( \gamma_r \frac{x}{L} \right) \right) \quad (3.2)$$

$$v(x, 0) = v_0 \quad (3.3)$$

il reste donc on cherche la serie de  $F_r$  dans la équation sommation suivante :

$$\sum_{r=1}^{\infty} AF_r \left( \sinh \left( \gamma_r \frac{x}{L} \right) - \tanh \gamma_r \cosh \left( \gamma_r \frac{x}{L} \right) - \sin \left( \gamma_r \frac{x}{L} \right) + \tanh \gamma_r \cos \left( \gamma_r \frac{x}{L} \right) \right) = v_0 \quad (3.4)$$

#### 3.1.2 Transformé de Fourier

On fait évolution de la fonction au-dessus , à gauche et à droite , on fait intergarale suivante en même temps :

$$\int_0^L \left( \sinh \left( \gamma_k \frac{x}{L} \right) - \tanh \gamma_k \cosh \left( \gamma_k \frac{x}{L} \right) - \sin \left( \gamma_k \frac{x}{L} \right) + \tanh \gamma_k \cos \left( \gamma_k \frac{x}{L} \right) \right) dx \quad (3.5)$$

$k$  est une constante.

et on obtient :

$$\sum_{r=1}^{\infty} \int_0^L AF_r \left( \sinh \left( \gamma_k \frac{x}{L} \right) - \tanh \gamma_k \cosh \left( \gamma_k \frac{x}{L} \right) - \sin \left( \gamma_k \frac{x}{L} \right) + \tanh \gamma_k \cos \left( \gamma_k \frac{x}{L} \right) \right) \quad (3.6)$$

$$\left( \sinh \left( \gamma_r \frac{x}{L} \right) - \tanh \gamma_r \cosh \left( \gamma_r \frac{x}{L} \right) - \sin \left( \gamma_r \frac{x}{L} \right) + \tanh \gamma_r \cos \left( \gamma_r \frac{x}{L} \right) \right) dx \quad (3.7)$$

$$= \int_0^L v_0 \left( \sinh \left( \gamma_k \frac{x}{L} \right) - \tanh \gamma_k \cosh \left( \gamma_k \frac{x}{L} \right) - \sin \left( \gamma_k \frac{x}{L} \right) + \tanh \gamma_k \cos \left( \gamma_k \frac{x}{L} \right) \right) dx \quad (3.8)$$

On étudie la fonction au dessus , on trouve si  $r$  est différent que  $k$  :

$$\int_0^L \left( \sinh \left( \gamma_k \frac{x}{L} \right) - \tanh \gamma_k \cosh \left( \gamma_k \frac{x}{L} \right) - \sin \left( \gamma_k \frac{x}{L} \right) + \tanh \gamma_k \cos \left( \gamma_k \frac{x}{L} \right) \right) \quad (3.9)$$

$$\left( \sinh \left( \gamma_r \frac{x}{L} \right) - \tanh \gamma_r \cosh \left( \gamma_r \frac{x}{L} \right) - \sin \left( \gamma_r \frac{x}{L} \right) + \tanh \gamma_r \cos \left( \gamma_r \frac{x}{L} \right) \right) dx = 0 \quad (3.10)$$

si  $r = k$  :

$$\int_0^L \left( \sinh \left( \gamma_k \frac{x}{L} \right) - \tanh \gamma_k \cosh \left( \gamma_k \frac{x}{L} \right) - \sin \left( \gamma_k \frac{x}{L} \right) + \tanh \gamma_k \cos \left( \gamma_k \frac{x}{L} \right) \right) \quad (3.11)$$

$$\left( \sinh \left( \gamma_r \frac{x}{L} \right) - \tanh \gamma_r \cosh \left( \gamma_r \frac{x}{L} \right) - \sin \left( \gamma_r \frac{x}{L} \right) + \tanh \gamma_r \cos \left( \gamma_r \frac{x}{L} \right) \right) dx = L \quad (3.12)$$

donc à gauche de signe égale , on a :  $ALF_k$   
et à droite de signe égale , on a :

$$\int_0^L v_0 \left( \sinh \left( \gamma_k \frac{x}{L} \right) - \tanh \gamma_k \cosh \left( \gamma_k \frac{x}{L} \right) - \sin \left( \gamma_k \frac{x}{L} \right) + \tanh \gamma_k \cos \left( \gamma_k \frac{x}{L} \right) \right) dx \quad (3.13)$$

$$= \frac{Lv_0 \left( \cos(\gamma_k) + \cosh(\gamma_k) + \tanh(\gamma_k)(\sin(\gamma_k) - \sinh(\gamma_k)) - 2 \right)}{\gamma_k} \quad (3.14)$$

et finalement on trouve  $F_k$  :

$$F_k = \frac{v_0}{A \gamma_k} \left( \cos(\gamma_k) + \cosh(\gamma_k) + \tanh(\gamma_k)(\sin(\gamma_k) - \sinh(\gamma_k)) - 2 \right) \quad (3.15)$$

$k$  et  $r$  sont constantes 1,2 ,3.....

$$F_r = \frac{v_0}{A \gamma_r} \left( \cos(\gamma_r) + \cosh(\gamma_r) + \tanh(\gamma_r)(\sin(\gamma_r) - \sinh(\gamma_r)) - 2 \right) \quad (3.16)$$

## 3.2 Deuxième condition

dans le deuxième condition on a  $\frac{\partial v(x,0)}{\partial t} = 0$

### 3.2.1 Dérivée partiel d'équation

On fait la dérivée partielle de  $v(x, t)$  sur  $t$

$$\frac{\partial v(x, t)}{\partial t} = A E w \cos(\omega t) \left( \sinh\left(\gamma \frac{x}{L}\right) - \tanh \gamma \cosh\left(\gamma \frac{x}{L}\right) - \sin\left(\gamma \frac{x}{L}\right) + \tanh \gamma \cos\left(\gamma \frac{x}{L}\right) \right) \quad (3.17)$$

$$- A F w \sin(\omega t) \left( \sinh\left(\gamma \frac{x}{L}\right) - \tanh \gamma \cosh\left(\gamma \frac{x}{L}\right) - \sin\left(\gamma \frac{x}{L}\right) + \tanh \gamma \cos\left(\gamma \frac{x}{L}\right) \right) \quad (3.18)$$

### 3.2.2 Nulle de derivation

On a toujours l'équation suivante :

$$\frac{\partial v(x, 0)}{\partial t} = A E_r \left( \sinh\left(\gamma_r \frac{x}{L}\right) - \tanh \gamma_r \cosh\left(\gamma_r \frac{x}{L}\right) - \sin\left(\gamma_r \frac{x}{L}\right) + \tanh \gamma_r \cos\left(\gamma_r \frac{x}{L}\right) \right) = 0 \quad (3.19)$$

Donc evidment ,  $E_r = 0$  pour tous les  $r$  .

## 3.3 Solution complète

Avec les conditions initiales on arrive :

$$\left\{ \begin{array}{lcl} v(x, t) & = & \sum_{r=1}^{\infty} A F_r \cos(\omega_r t) \left( \sinh\left(\gamma_r \frac{x}{L}\right) - \tanh \gamma_r \cosh\left(\gamma_r \frac{x}{L}\right) - \sin\left(\gamma_r \frac{x}{L}\right) + \tanh \gamma_r \cos\left(\gamma_r \frac{x}{L}\right) \right) \\ A F_r & = & \frac{v_0}{\gamma_r} \left( \cos(\gamma_r) + \cosh(\gamma_r) + \tanh(\gamma_r)(\sin(\gamma_r) - \sinh(\gamma_r)) - 2 \right) \\ \omega_r & = & \frac{\gamma_r^2}{L^2} \sqrt{\frac{EI}{\rho S}} \\ E_r & = & 0 \end{array} \right. \quad (3.20)$$

## Chapitre 4

# Présentations Graphiques

On utilise Jupyter Notebook pour présenter les graphiques : pour toutes les valeurs en bosoin , on note 1 ,

$$E = 1 \tag{4.1}$$

$$L = 1 \tag{4.2}$$

$$I = 1 \tag{4.3}$$

$$rho = 1 \tag{4.4}$$

$$S = 1 \tag{4.5}$$

### 4.1 Graphiques temps fixé

#### 4.1.1 Mode 1 ( $\gamma = \gamma_1$ )

$\gamma_1 = 3.927$  :

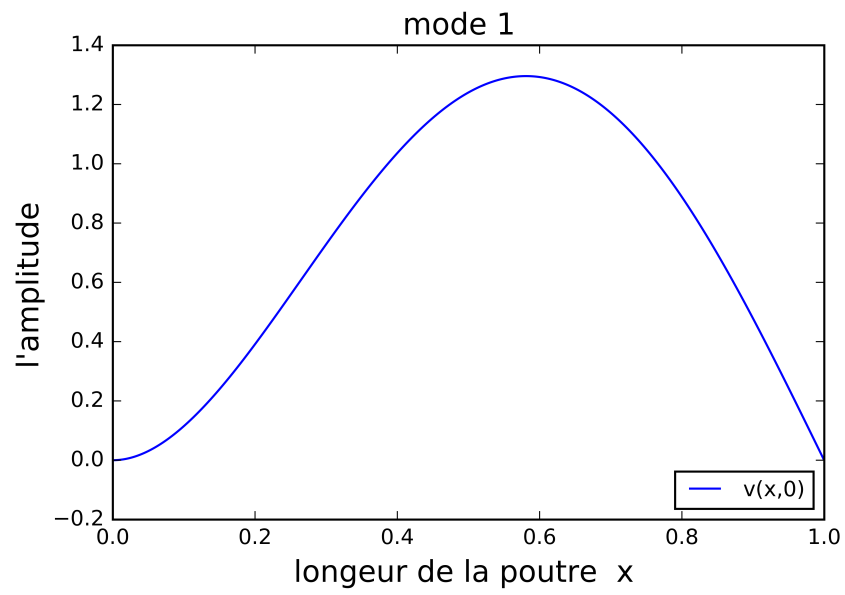


FIGURE 4.1 –  $t=0$  mode 1

#### 4.1.2 Mode 2 ( $\gamma = \gamma_2$ )

$\gamma_2 = 7.069$  :

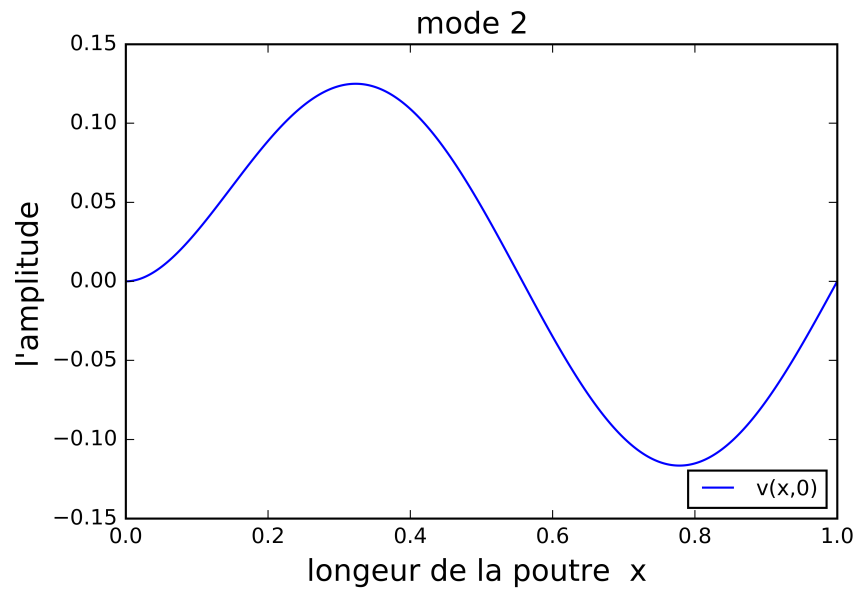


FIGURE 4.2 –  $t=0$  mode 2



#### 4.1.3 $V(x,0)$ total pour $\gamma_1$ et $\gamma_2$

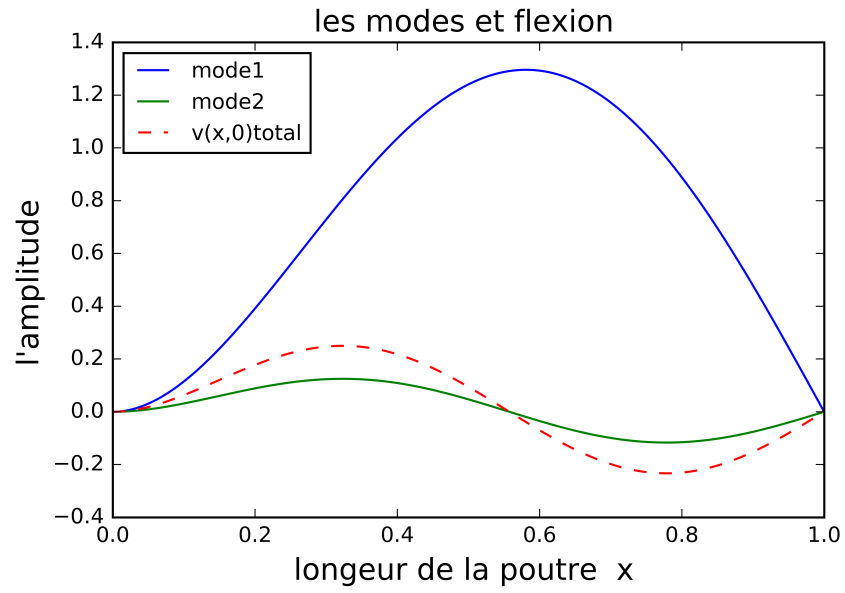


FIGURE 4.3 – 2 modes et vibrations

#### 4.1.4 Mode 5 ( $\gamma = \gamma_5$ )

$\gamma_5 = 16.493$  :

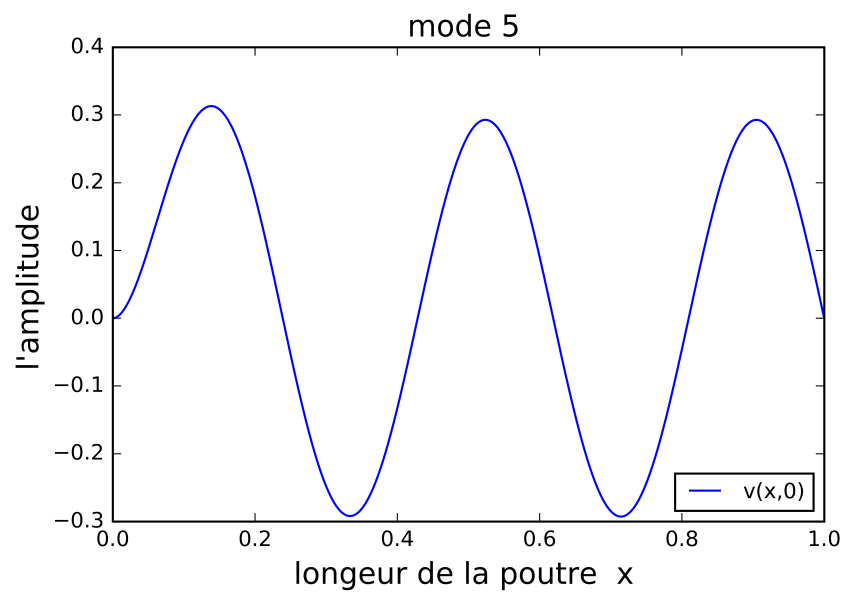


FIGURE 4.4 –  $t=0$  mode 5

#### 4.1.5 $V(x,0)$ total pour $\gamma_1, \gamma_2, \gamma_3, \gamma_4, \gamma_5$

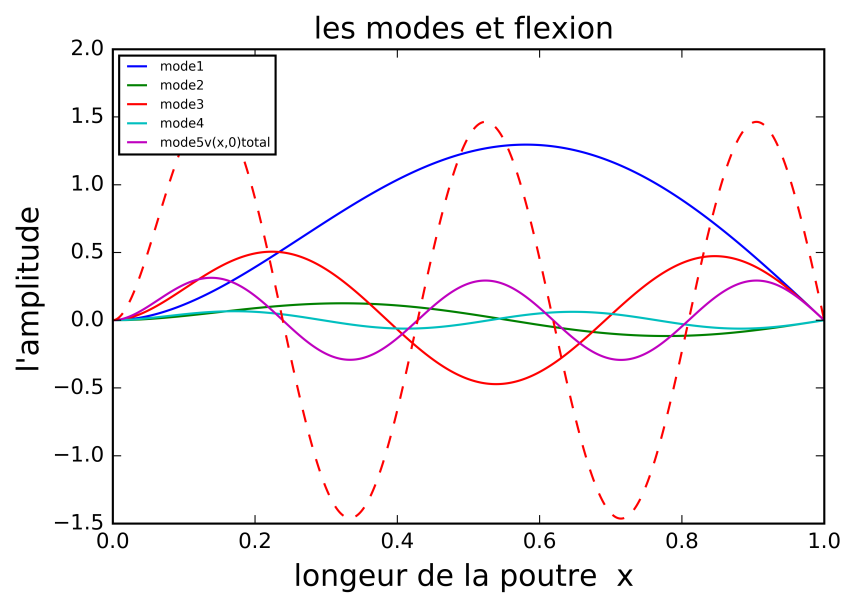


FIGURE 4.5 – 5 modes et vibrations

## 4.2 Graphiques position fixé

On choisi pa position milieu  $x = 0.5$  pour présenter :

### 4.2.1 Model du temps

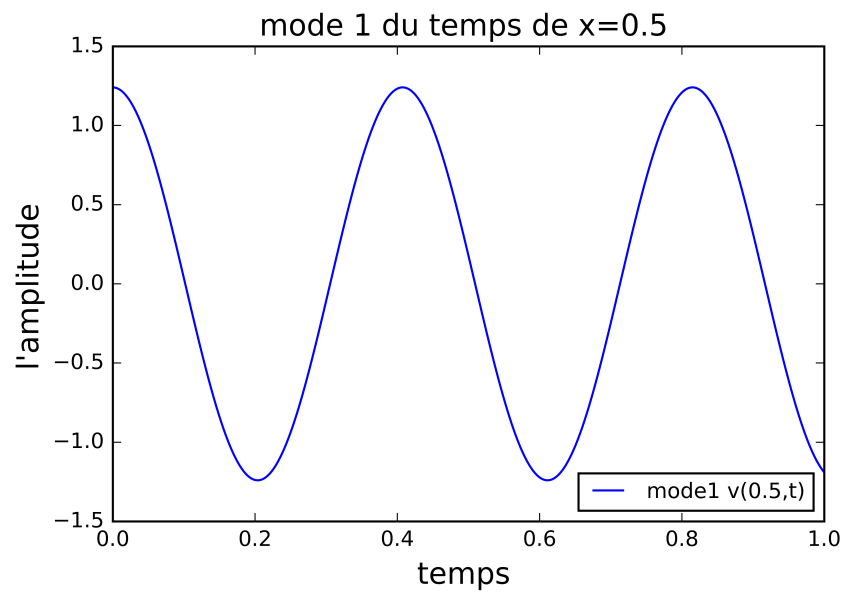


FIGURE 4.6 – mode1 du temps

#### 4.2.2 Mode2 du temps

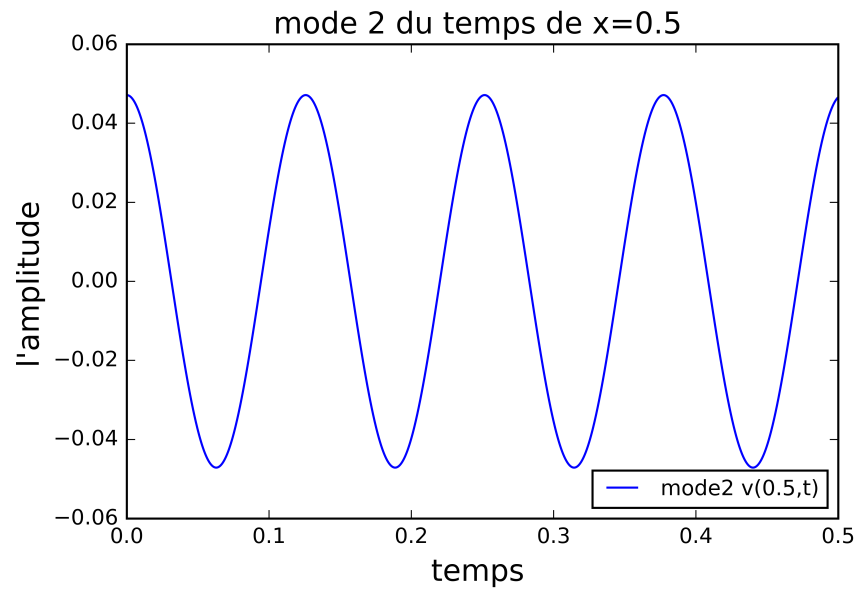


FIGURE 4.7 – mode2 du temps

### 4.2.3 Viration2 total du temps

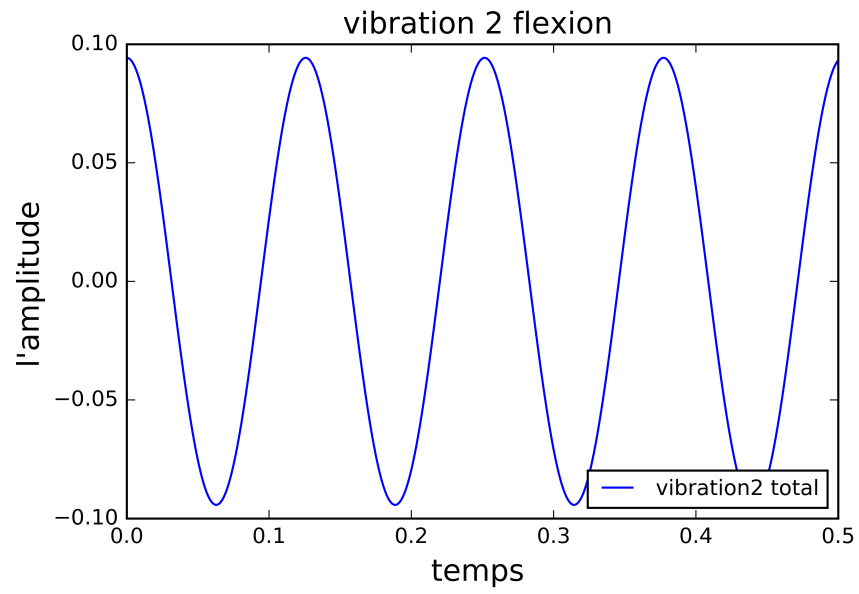


FIGURE 4.8 – vibration2 du temps

#### 4.2.4 Viration5 total du temps

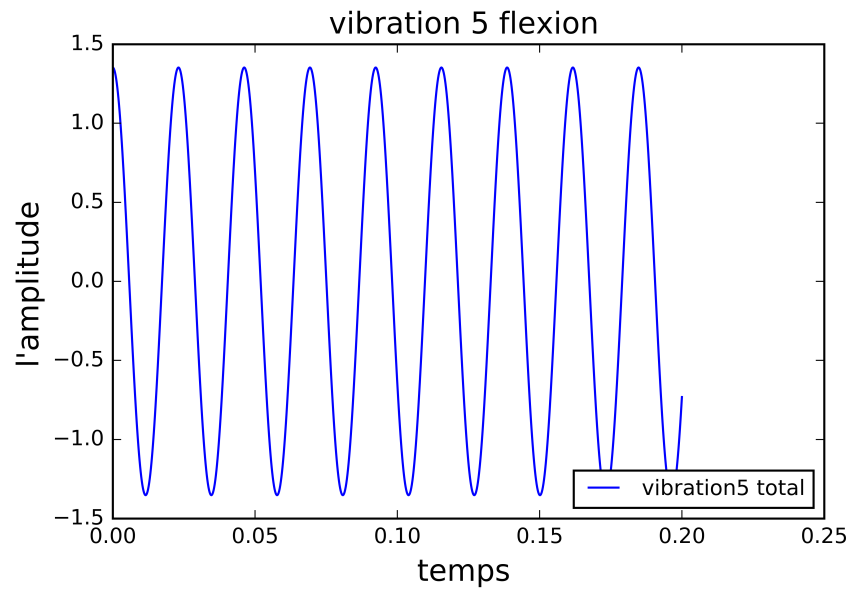


FIGURE 4.9 – vibration5 du temps

## Chapitre 5

# Conclusion

Dans ce

# Annexe A

## Code Python

### A.1 Listes des fonctions

---

```
## trouver les valeurs de gamma
x=np.linspace(0,13*np.pi/4,num=100)
plt.ylim(-1,2)
plt.plot(x,np.tan(x))
plt.plot(x,np.tanh(x))
plt.xlabel('x', fontsize=14)
plt.ylabel("deux fonctions", fontsize=14)
plt.title("les points pour tanh(x)=tan(x)", fontsize=14)
plt.legend(['tan(x)', 'tanh(x)'],loc='lower right', fontsize = 10)
plt.savefig('D:\Tous Les TP\DM-math\ figuretanh.png',dpi=800)
```

```
# definir r_k , k= 1, 2 ,3, 4, 5, 6 ,....
```

```
def r_k(n):
    A=np.linspace(1,n,n)
    for i in range(1,n+1):
        A[i-1]=np.pi*(4*i+1)/4
    return A
while i<N:
    S=section(L,N,i,S0,SL)
    A[i,i]=A[i,i]+(E*S)/h
    A[i,i+1]=-(E*S)/h
    A[i+1,i]=-(E*S)/h
    A[i+1,i+1]=(E*S)/h
    i=i+1
return A
```

```
# def phi_k pla variation en fonction de x
```

```
def phi_k(r,L):
```



```

y=np.sinh(r*x/L)-np.tanh(r)*np.cosh(r*x/L)-np.sin(r*x/L)+np.tanh(r)
    *np.cos(r*x/L)
return y

# somme de phi(x) sans l'implitude
def somme_phi_k(n,L):
    y=0
    for i in r_k(n):
        y=y+phi_k(i,L)
        i=i+1
    return y

# definir v_k
def V_k(n,v0,L):
    A=np.linspace(0,n-1,n)
    i=0
    for r in r_k(n):
        A[i]=(np.cos(r)+np.cosh(r)+np.tanh(r)*(np.sin(r)-np.sinh(r))-2)
            /r
        i=i+1
    return A

# definir omega
def omega_k(n,L,E,I,rho,S):
    A=np.linspace(0,n-1,n)
    i=0
    for r in r_k(n):
        A[i]=(r*r)/(L*L)*np.sqrt(E*I/(rho*S))
        i=i+1
    return A

# definir les modes
def mode(n,t,v0,L,E,I,rho,S):
    i=0
    for r in r_k(n):
        y=V_k(n,v0,L)[i]*phi_k(r,L)*np.cos(omega_k(n,L,E,I,rho,S)[i]*t)
        i=i+1
    return y

#definir u_k sans somme
def u_k(n,t,v0,L,E,I,rho,S):
    i=0
    for r in r_k(n):

```

```

        y=V_k(n,v0,L)[i]*phi_k(r,L)*np.cos(omega_k(n,L,E,I,rho,S)[i]*t)
        i=i+1
    return y

#definir vibration total
def v_x_t(n,v0,L,x,t,E,I,rho,S):
    y=0
    for i in range(1,n+1):
        y=y+u_k(n,t,v0,L,E,I,rho,S)
        i=i+1
    return y

def intergral f(r)*f(k)
def function(x):
    r=3.927
    k=7.069
    return (np.sinh(r*x)-np.tanh(r)*np.cosh(r*x)-np.sin(r*x)+np.tanh(r)
            )*np.cos(r*x))*(np.sinh(k*x)-np.tanh(k)*np.cosh(k*x)-np.sin(k*x)
            )+np.tanh(k)*np.cos(k*x))
quad(function,0,1)

```

---

## A.2 Les graphiques

### A.2.1 $\tan(\gamma)=\tan(\gamma)$

---

```

x=np.linspace(0,13*np.pi/4,num=100)
plt.ylim(-1,2)
plt.plot(x,np.tan(x))
plt.plot(x,np.tanh(x))
plt.xlabel('x', fontsize=14)
plt.ylabel("deux fonctions", fontsize=14)
plt.title("les points pour tanh(x)=tan(x)", fontsize=14)
plt.legend(['tan(x)', 'tanh(x)'],loc='lower right', fontsize = 10)
plt.savefig('D:\Tous Les TP\DM-math\ figuretanh.png',dpi=800)

```

---

### A.2.2 Mode 1

---

```

x=np.linspace(0,1,num=1000)
n=1
t=0
v0=1
E=1
L=1
I=1
rho=1
S=1

```

```

plt.plot(x,mode(n,t,v0,L,E,I,rho,S))
plt.xlabel('longueur de la poutre x ', fontsize=14)
plt.ylabel("l'amplitude", fontsize=14)
plt.title("mode 1 ", fontsize=14)
plt.legend(['v(x,0)'],loc='lower right', fontsize = 10)
plt.savefig('D:\Tous Les TP\DM-math\ mode1.png',dpi=800)

```

---

### A.2.3 Mode 2

```

x=np.linspace(0,1,num=1000)
n=2
t=0
v0=1
E=1
L=1
I=1
rho=1
S=1
plt.plot(x,mode(n,t,v0,L,E,I,rho,S))
plt.xlabel('temps ', fontsize=14)
plt.ylabel("l'amplitude", fontsize=14)
plt.title("mode 1 du temps de x=0.5 ", fontsize=14)
plt.legend(['mode12(0.5,t)'],loc='lower right', fontsize = 10)
plt.savefig('D:\Tous Les TP\DM-math\ mode1t.png',dpi=800)

```

---

### A.2.4 Mode 5

```

x=np.linspace(0,1,num=1000)
n=5
t=0
v0=1
E=1
L=1
I=1
rho=1
S=1
plt.plot(x,mode(n,t,v0,L,E,I,rho,S))
plt.xlabel('temps ', fontsize=14)
plt.ylabel("l'amplitude", fontsize=14)
plt.title("mode 1 du temps de x=0.5 ", fontsize=14)
plt.legend(['mode12(0.5,t)'],loc='lower right', fontsize = 10)
plt.savefig('D:\Tous Les TP\DM-math\ mode1t.png',dpi=800)

```

---

### A.2.5 5 modes total

---

```

x=np.linspace(0,1,num=1000)
n=5
t=0
v0=1
E=1
L=1
I=1
rho=1
S=1
plt.plot(x,v_x-t(n,v0,L,x,t,E,I,rho,S),'r—')
for i in range(1,n+1):
    plt.plot(x,u_k(i,t,v0,L,E,I,rho,S))
plt.xlabel('temps ', fontsize=14)
plt.ylabel("l'amplitude", fontsize=14)
plt.title("vibration 5 flexion ", fontsize=14)
plt.legend(['vibration5 total','mode2','mode3','mode4','mode5'+'v(x,0)
total'],loc='upper left', fontsize = 8)
plt.savefig('D:\Tous Les TP\DM-math\ modee5vt.png',dpi=800)

```

---

### A.2.6 flexion à $x=0.5$ mode 1

---

```

t=np.linspace(0,0.5,num=1000)
n=1
x=0.5
v0=1
E=1
L=1
I=1
rho=1
S=1
plt.plot(t,mode(n,t,v0,L,E,I,rho,S))
plt.xlabel('temps ', fontsize=14)
plt.ylabel("l'amplitude", fontsize=14)
plt.title("mode 2 du temps de x=0.5 ", fontsize=14)
plt.legend(['mode5 v(0.5,t)'],loc='lower right', fontsize = 10)
plt.savefig('D:\Tous Les TP\DM-math\ mode1t.png',dpi=800)

```

---

### A.2.7 flexion à $x=0.5$ mode 2

---

```

t=np.linspace(0,0.5,num=1000)
n=2
x=0.5
v0=1
E=1
L=1
I=1
rho=1

```

```

S=1
plt.plot(t,mode(n,t,v0,L,E,I,rho,S))
plt.xlabel('temps ', fontsize=14)
plt.ylabel("l'amplitude", fontsize=14)
plt.title("mode 2 du temps de x=0.5 ", fontsize=14)
plt.legend(['mode5 v(0.5,t)'],loc='lower right', fontsize = 10)
plt.savefig('D:\Tous Les TP\DM-math\ mode2t.png',dpi=800)

```

---

## A.2.8 flexion à x=0.5 total 5 modes

---

```

t=np.linspace(0,0.5,num=100)
n=5
x=0.5
v0=1
E=1
L=1
I=1
rho=1
S=1
plt.xlabel('temps ', fontsize=14)
plt.ylabel("l'amplitude", fontsize=14)
plt.title("vibration 5 flexion ", fontsize=14)
plt.legend(['vibration5 total','mode2','mode3','mode4','mode5''v(x,0)
total'],loc='upper left', fontsize = 10 )
plt.savefig('D:\Tous Les TP\DM-math\ modee5vt.png',dpi=800)
plt.plot(t,v_x_t(n,v0,L,x,t,E,I,rho,S))

```

---